

(252) 鋼の凝固区間決定における $\delta$ - $\beta$ 変態の機構

北大工学部 高橋忠義, 大笹憲一, 田中順一  
北大大学院 五十嵐一夫

緒言

多成分系である鋼の実際凝固過程における凝固区間を, Fe-C二元系状態図の上に(炭素以外の元素濃度を一定とする)炭素濃度の変化に応じて示すためには, 包晶反応前後の $\delta$ 晶および $\beta$ 晶の凝固の過程がどのように推移するかを見定める事が重要となる。

解析方法および結果

鋼の凝固においては最初に晶出する結晶は $\delta$ 晶であり,  $\delta$ 晶の成長に伴い液相が濃化されて, 炭素濃度が0.51%に達した時に $\delta$ 晶の界面で包晶反応が生じ, 初晶の $\delta$ 晶が反応で生じた $\beta$ 相で包まれる事になる。未変態 $\delta$ 相が $\beta$ 相に変態するためには $\delta$ 晶の界面に生成した $\beta$ 相を通して $\delta$ 相への炭素の拡散が必要であり, この間の温度降下につれて $\delta$ 相の界面に生成した $\beta$ 相につづいて連続した $\beta$ 相の成長が, core部の $\delta$ 相への炭素の拡散による $\beta$ 相への変態と同時的に生じる事になる<sup>(1)</sup>。したがって液相の炭素濃度は $\delta$ 晶凝固時には $\delta$ 晶の分配係数にもとづいて濃化し,  $\beta$ 晶の生成の後には $\beta$ 晶の分配係数にもとづいて濃化が進行し最終液相濃度に至る事になる。そこで溶質濃化過程の解析にあたって, 包晶反応が生じるまでは $\delta$ 晶とともに濃化が行なわれ, 包晶反応後は $\delta$ 晶の固相率を $\beta$ 晶の固相率と見なして(包晶反応は界面反応であるので, この時点での $\beta$ 相生成量を無視する)状態図上に新たなレバー法則を適用して, その後の $\beta$ 晶成長の濃化過程を追跡するための基線を求める。この事を模式的に示したのがFig.1で, 初期濃度 $C_0$ の組成のものが包晶反応後に, 平衡状態図上の $C_0'$ の組成となる基線に転移させてその後の $\beta$ 相凝固の濃化過程を求める。

炭素以外の成分は $\delta$ - $\beta$ 変態にかかわらず固相率に対応して個々に濃化するとした。計算にあたってはSiの濃度を0.29%, Mn 0.42%, P 0.015%, S 0.009%とし, 炭素の濃度を0.05%~1.5%まで変化させた。液相の各成分の最終溶質濃度は固相内拡散を考慮した式<sup>(2)</sup>と円形空孔浸出法による固相率と溶質濃度変化との対応から決定した。凝固区間は各成分の最終凝固溶質濃度と初期溶質濃度との差に対応する凝固点降下を鉄基二元系状態図から求め, それらの総和として評価した。

Fig.2はFe-C二元平衡状態図上に計算による凝固開始温度 $T_{La}$ と終了温度 $T_{Sa}$ を示したものである。破線は $\delta$ 晶から $\beta$ 晶に変換するときの温度で他成分の濃化により, 平衡状態図上の包晶温度 $T_{Pe}$ より低下し, 炭素濃度が0.1%でそのずれは最大となっている。また凝固終了温度も固相線温度より低下し, この領域が従来いわれている融点近傍の脆化領域に対応すると考えられる。ここで示した例は包晶反応時での $\beta$ 相の生成量を無視しているが, 反応生成量に応じた解析も可能である。

参考文献

- 1) 高橋, 田中, 工藤: 学振19委 [10257] (1980).
- 2) 高橋, 工藤: 日本金属学会報, 11 (1972), 601.

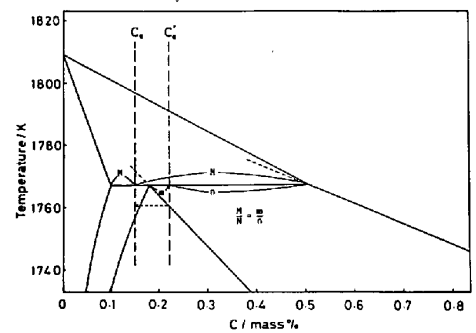


Fig.1 3- $\gamma$  transformation in a commercial steel ingot.

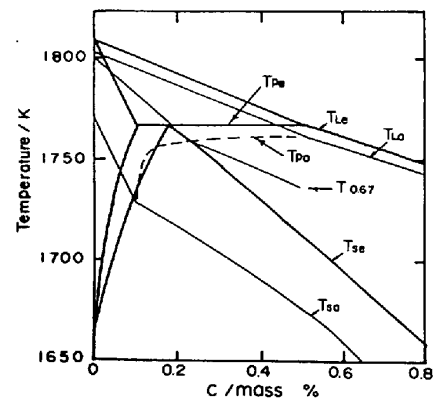


Fig.2 Solidification process in a commercial steel ingot. Solidification parameter,  $\alpha = 0.5$